

## พฤติกรรมโครงสร้างชั้นวางสินค้าสำหรับระบบ ASRS ภายใต้แรงสลับทิศ Behavior of High-Rise ASRS Steel Storage Rack Structure under Cyclic Loading

ปารณัฐ รัตนธรรมสกุล<sup>1</sup>, เอกชัย อยู่ประเสริฐชัย<sup>2</sup>, วงศา วรารักษ์สังข์<sup>3</sup>, สุทัศน์ สีสาทวิวัฒน์<sup>4</sup> และ ชัยณรงค์ อธิสกุล<sup>5</sup>

<sup>1,2,4,5</sup>ภาควิชาวิศวกรรมโยธา คณะวิศวกรรมศาสตร์ มหาวิทยาลัยเทคโนโลยีพระจอมเกล้าธนบุรี จ.กรุงเทพมหานคร

<sup>3</sup>ภาควิชาวิศวกรรมโยธา คณะวิศวกรรมศาสตร์ มหาวิทยาลัยเทคโนโลยีราชมงคลธัญบุรี จ.ปทุมธานี

Corresponding author; E-mail address: paranut.rnt@mail.kmutt.ac.th

### บทคัดย่อ

ปัจจุบันมีการใช้งานชั้นวางสินค้าที่มีความสูงเป็นพิเศษเพิ่มมากขึ้น เพื่อรองรับระบบจัดเก็บสินค้าแบบอัตโนมัติ (Automatic Storage and Retrieval System, ASRS) การศึกษาและทดสอบโครงสร้างชั้นวางสินค้าในงานวิจัยในอดีต จะเน้นไปที่การทดสอบโครงสร้างชั้นวางสินค้าที่มีความสูงไม่มาก โครงสร้างชั้นวางสินค้าสำหรับระบบ ASRS ที่มีใช้ในประเทศ ในปัจจุบันจะมีความสูงกว่า 20 ถึง 30 เมตร ซึ่งยังไม่เคยมีข้อมูลการทดสอบพฤติกรรมและการรับแรงของโครงสร้างชั้นวางสินคารูปแบบนี้ในห้องปฏิบัติการมาก่อน บทความนี้นำเสนอการทดสอบพฤติกรรมของโครงสร้างชั้นวางสินค้าสำหรับระบบ ASRS ภายใต้แรงสลับทิศ โดยอาศัยการทดสอบส่วนของโครงสร้างชั้นวางสินค้า (Sub-assembly) ที่ใช้อาคารขนาดเท่าของจริง ตัวอย่างทดสอบโครงสร้างชั้นวางสินค้านี้กำหนดให้มีความสูงรวม 4 เมตร ความกว้างสองช่วงเสารวม 5 เมตร และความลึก 0.98 เมตร ที่เป็นตัวแทนของชั้นวางสินค้า 2 ชั้นล่างสุดของโครงสร้าง การทดสอบจะกระทำโดยการให้น้ำหนักบรรทุกในแนวตั้งที่มีค่าคงที่ ร่วมกับการให้แรงดัดข้างจำนวน 2 จุดตามความสูง โดยให้อัตราส่วนของแรงกระทำด้านข้างตามความสูงคงที่ ผลจากการทดสอบที่สำคัญประกอบด้วยระยะการเคลื่อนตัว แรงเฉือนที่ฐาน และ รูปแบบการวิบัติของโครงสร้างชั้นวางสินค้า

คำสำคัญ: ชั้นวางสินค้า, แรงสลับทิศ, ระบบจัดเก็บสินค้าอัตโนมัติ

### Abstract

Ultra-high steel storage racks are becoming more common to accommodate Automatic Storage and Retrieval System (ASRS). Past research studies on the behavior of steel storage rack focused on typical low-rise industrial racks. However, steel storage racks for ASRS system currently being used in Thailand might be as high as 20-30 meters. This article presents the behavior of high-rise ASRS steel storage rack structure under cyclic loading. The cyclic test was carried out by using a sub-assembly structure which uses full-scaled cold-formed steel sections. The test specimen was 4 meters in height, 5 meters in width with 2 bays, and 0.98 meters in depth. The specimen represented the first 2 stories of the structure. The test was carried out under constant vertical load and varying lateral loads applying at 2 different points along the height of the structure. The magnitude of the lateral loads at the two levels were kept

with a constant ratio. The key test results included displacement, base shear, and failure mode of the structure.

Keywords: Storage rack structure, Cyclic loading, Automatic Storage and Retrieval System

### 1. บทนำ

ระบบจัดเก็บสินคารูปแบบหนึ่งที่สามารถดึงประสิทธิภาพการใช้สอยพื้นที่ในอาคารให้เกิดประโยชน์สูงสุด คือ ระบบจัดเก็บสินค้า ASRS (Automated Storage and Retrieval Systems) ที่มีรูปแบบเป็นชั้นวางสินค้าที่ใช้ร่วมกับระบบอัตโนมัติในการจัดเก็บ และเบิกจ่ายสินค้า โดยทั่วไปแล้วระบบเหล่านี้ประกอบไปด้วย ชุดชั้นวางสินค้าที่ติดตั้งร่วมกับเครนยกและจัดเก็บสินค้า และเชื่อมต่ออยู่กับระบบควบคุมด้วยคอมพิวเตอร์ ทำให้สามารถจัดเก็บ และเบิกจ่ายสินค้าได้อย่างแม่นยำ และมีประสิทธิภาพ

ในประเทศไทยระบบจัดเก็บสินค้า ASRS เริ่มมีการนำมาใช้เพิ่มมากขึ้น และใช้กับชั้นวางสินค้าที่มีความสูงเป็นพิเศษ 20 ถึง 30 เมตร ซึ่งยังไม่เคยมีข้อมูลการทดสอบพฤติกรรมและการรับแรงของโครงสร้างชั้นวางสินคารูปแบบนี้ในห้องปฏิบัติการมาก่อน การทดสอบในอดีตมุ่งเน้นไปที่การทดสอบโครงสร้างชั้นวางสินค้าปรกติทั่วไปที่มีความสูงไม่มากตามมาตรฐาน ANSI RMI และ FEM 10.2.06 [1,2] การนำโครงสร้างชั้นวางสินค้าที่ใช้กันทั่วไป มาประยุกต์ใช้กับระบบจัดเก็บสินค้า ASRS วิศวกรจึงจำเป็นต้องเข้าใจถึงพฤติกรรมของโครงสร้างชั้นวางสินค้าที่มีความสูงมากเป็นพิเศษแตกต่างการใช้งานปรกติ จึงมีความจำเป็นต้องทดสอบชั้นวางสินค้าสำหรับระบบ ASRS เพื่อศึกษาถึงพฤติกรรมและนำไปประยุกต์ให้เข้ากับการออกแบบและใช้งานจริงตามคลังสินค้า

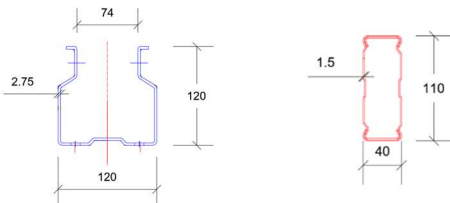
บทความนี้มีวัตถุประสงค์ในการศึกษาพฤติกรรมของโครงสร้างชั้นวางสินค้าสำหรับระบบ ASRS ภายใต้แรงสลับทิศ เพื่อศึกษาพฤติกรรม รวมถึงรูปแบบการวิบัติที่เกิดขึ้นของโครงสร้างชั้นวางสินค้า ในการศึกษาจะใช้การทดสอบส่วนของโครงสร้างชั้นวางสินค้า (Sub-assembly) ที่ใช้อาคารขนาดเท่าของจริง ตัวอย่างทดสอบโครงสร้างชั้นวางสินค้านี้มีความสูงรวม 4 เมตร ความกว้างสองช่วงเสารวม 5 เมตร และความลึก 0.98 เมตร โดยจำลองมาจากชั้นวางสินค้า 2 ชั้นล่างสุดของโครงสร้างชั้นวางสินค้าจริงที่มีความสูงทั้งสิ้น 16 ชั้น วัสดุทำมาจากเหล็กรีดเย็น (Cold-formed steel) การทดสอบโครงสร้างทำโดยวิธีการให้แบบสลับทิศ (Cyclic Test) และแรงกระทำแบบทิศทางเดียว (Monotonic loading) ภายใต้แรงกดในแนวตั้ง (Vertical load) เพื่อจำลองน้ำหนักบรรทุกทุกของสินค้านี้ทั้งหมด

## 2. การทดสอบภายใต้แรงสลับทิศ (Cyclic test)

การทดสอบให้แรงแบบสลับทิศจะเป็นการจำลอง การรับแรงด้านข้าง ในทิศทางตามยาวของชั้นวางสินค้า (Down Aisle Direction) [3] โดยโครง ชั้นวางสินค้าสองชั้น ความสูงรวม 4 เมตร จำนวนสองช่วงเสา ดังแสดงใน รูปที่ 1 วัสดุที่ใช้สำหรับเสาและคาน ทำจากเหล็กรีดเย็นชั้น Q345B โดยมี ค่าความเค้นคราก (Yielding stress) ที่ 345 MPa หน้าตัดเสาแบบ Omega Section มีขนาด 120x120x2.75 มิลลิเมตร และ หน้าตัดคานรูป กล่องสี่เหลี่ยมมีขนาด 110x40x1.5 มิลลิเมตรดังแสดงในรูปที่ 2 ทั้งนี้เสา และคานของโครงสร้างชั้นวางสินค้ามีขนาดและสมบัติดังแสดงในตารางที่ 1



รูปที่ 1 โครงสร้างชั้นวางสินค้าที่ใช้ในการทดสอบ



(ก) เสา: C1 (ข) คาน: B1

รูปที่ 2 โครงสร้างชั้นวางสินค้าที่ใช้ในการทดสอบ

ตารางที่ 1 สมบัติเสาและคานของโครงสร้างชั้นวางสินค้า

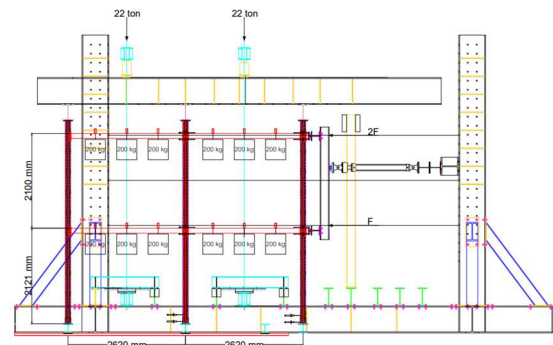
Member	Area (cm <sup>2</sup> )	I <sub>x</sub> (cm <sup>4</sup> )	I <sub>y</sub> (cm <sup>4</sup> )	Modulus of Elasticity (GPa)
Upright 120x120x2.75	12.12	264.78	207.58	200
Beam 110x40x1.5	6.14	113.92	22.12	200

### 2.1 การติดตั้งตัวอย่างทดสอบ

ตัวอย่างทดสอบจะถูกติดตั้งอยู่ในโครงทดสอบ ประกอบด้วยโครง Reaction Frame สำหรับให้แรงทางด้านข้าง และร่วมกับการให้แรงใน แนวตั้งโดยใช้ ลวดอัดแรง (PT Bar) ติดตั้งอยู่บน Linear Bearing ที่ สามารถเคลื่อนตัวในแนวราบ ไปพร้อมกับโครงอาคารตัวอย่าง เพื่อให้ให้ แรงจากลวดอัดแรงมีทิศทางอยู่ในแนวตั้ง ดังแสดงในรูปที่ 3



(ก) การติดตั้งตัวอย่างทดสอบ



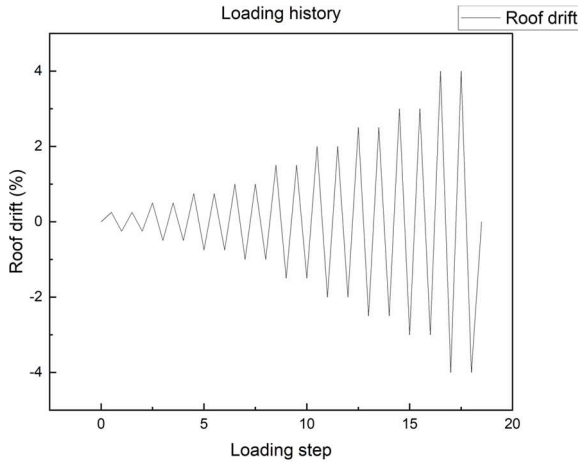
(ข) แบบแปลนการติดตั้งตัวอย่างทดสอบ

รูปที่ 3 ตัวอย่างทดสอบ

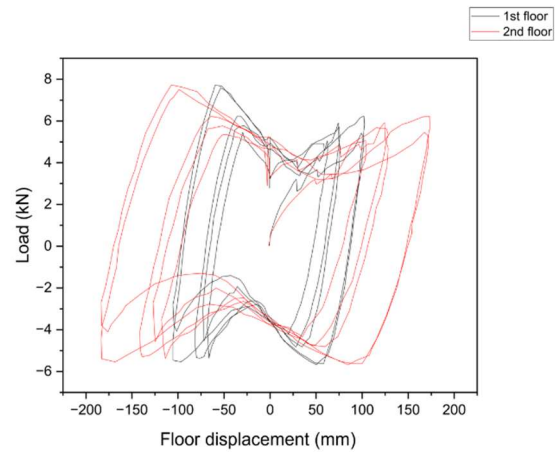
### 2.2 แรงในการทดสอบ

การทดสอบนี้จะใช้แรงในรูปแบบสามเหลี่ยมผกผัน (Inverse Triangular Loading Pattern) โดยให้แรงกระทำที่ที่ชั้นบน มีค่าเป็นสอง เท่าของแรงกระทำในชั้นล่าง โดยการให้แรงผ่านคานกระจายแรงในแนวตั้ง ก่อนการทดสอบด้วยแรงในแนวตั้ง จะให้น้ำหนักบรรทุกทุกในแนวตั้งด้วยลวด อัดแรงที่ 220 kN จำนวนสองจุด และกำหนดให้แรงกระทำในด้านข้าง กระทำเป็นรอบๆ ตามค่าการเคลื่อนที่กำหนด โดยที่แต่ละค่าการเคลื่อนที่ (Loading Step) ดังแสดงในตารางที่ 3 จะให้แรงสองรอบ เป็นไปตามรูปแบบ การให้แรง (Loading History) ดังแสดงในรูปที่ 4

ตารางที่ 3 แสดงค่าการเคลื่อนที่ โดยกำหนดเป็นค่าร้อยละของความ สูงตัวอย่าง (Roof Drift) หลังการทดสอบเสร็จสิ้น จะเปลี่ยนเป็นการให้แรง กระทำด้านเดียว (Monotonic Loading) ดังจะอธิบายในรายละเอียดต่อไป ในการทดสอบจะทำการบันทึกผล ความสัมพันธ์ระหว่างแรงกระทำและ ระยะการเคลื่อนตัวของโครงชั้นวางสินค้า



รูปที่ 4 Loading history ของแรงกระทำในด้านข้าง (Lateral load)



รูปที่ 6 ความสัมพันธ์ระหว่าง แรงเฉือนที่ฐานกับระยะการเคลื่อนตัวช่วงที่สอง

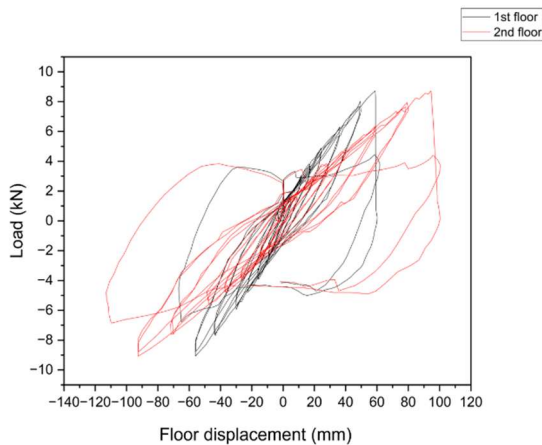
ตารางที่ 3 Loading history

Loading Step	Roof drift (%)
1	0.25
2	0.50
3	0.75
4	1.00
5	1.50
6	2.00
7	2.50
8	3.00
9	4.00

จากรูปที่ 5 พบว่าในช่วงต้นของการทดสอบ ค่ากำลังรับแรงด้านข้างมีค่าสูงขึ้นเรื่อย ๆ โดยในช่วงแรกของการทดสอบจะเกิดแรงต้านเนื่องจากแรงเสียดทาน เมื่อแรงกระทำที่ฐานอาคารมีค่าประมาณ 9 kN พบว่าแรงที่กระทำนั้นมีค่าลดลงอย่างรวดเร็ว หลังจากที่เราวาง Linear Bearing เริ่มทำงานและเกิดการไถล จากนั้นจึงเข้าสู่ช่วงที่สองของการทดสอบดังแสดงในรูปที่ 6 ซึ่งเป็นกำลังต้านทานจริงที่เกิดจากตัวโครงสร้างชั้นวางสินค้าเอง ผลการทดสอบแสดงให้เห็นว่า โครงสร้างชั้นวางสินค้าสามารถเสียรูปได้มากโดยไม่เกิดการวิบัติวิบัติขึ้น ซึ่งเป็นพฤติกรรมที่เหมาะสมในการต้านทานแรงแผ่นดินไหว แต่อย่างไรก็ตามพบว่าค่ากำลังต้านทานแรงด้านข้างของโครงสร้างชั้นวางสินค้ามีค่าค่อนข้างต่ำมาก ดังนั้นในการใช้งานจริงสำหรับการรับแรงด้านข้าง เช่น แรงแผ่นดินไหว จำเป็นต้องมีการใช้ระบบค้ำยันด้านข้าง (Lateral Bracing) ร่วมในการรับแรงด้วย

### 2.3 ผลการทดสอบภายใต้แรงสลับทิศ

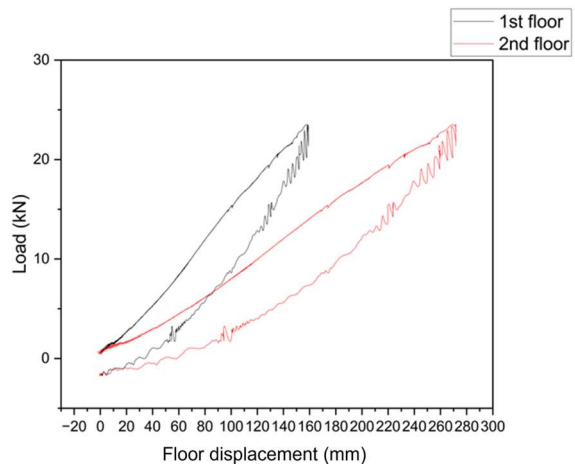
ผลการทดสอบโครงสร้างชั้นวางสินค้าภายใต้แรงสลับทิศ จะแสดงผลแบ่งออกเป็น 2 ช่วง ในช่วงแรก ทำการทดสอบที่ค่าการเคลื่อนตัวจาก 0 จนถึงค่าการเคลื่อนตัวที่ร้อยละ 2.5 และช่วงที่สอง ทำการทดสอบจากค่าการเคลื่อนตัวที่ ร้อยละ 2.5 ถึง ร้อยละ 4 ผลการทดสอบในรูปแบบกราฟความสัมพันธ์ระหว่างแรงเฉือนที่ฐานและระยะการเคลื่อนตัวดังแสดงในรูปที่ 5 และ 6



รูปที่ 5 ความสัมพันธ์ระหว่าง แรงเฉือนที่ฐานกับระยะการเคลื่อนตัวช่วงแรก

### 3. ผลการทดสอบภายใต้แรงกระทำทิศทางเดียว (Monotonic Test)

การทดสอบนี้เป็นการทดสอบในช่วงที่ 3 หลังจากที่ทำการศึกษาแบบ Cyclic Test จนกระทั่งตัววาง Linear Bearing ได้เคลื่อนตัวจนถึงระยะที่จำกัดแล้ว จึงต้องมีการถอนน้ำหนักในแนวตั้งออก แล้วจึงทำการทดสอบโดยการให้แรงกระทำข้างเดียวในทิศทางเดียวต่อไป จนค่าการเคลื่อนไปถึงร้อยละ 6 เมื่อตัวอย่างเกิดการวิบัติที่จึงยุติการทดสอบ ผลการทดสอบในช่วงที่ 3 นี้แสดงในรูปที่ 7





**รูปที่ 7** ความสัมพันธ์ระหว่าง แรงเฉือนที่ฐานกับระยะการเคลื่อนตัวช่วงที่สาม

ผลการทดสอบพบว่า การวิบัติเกิดขึ้นที่บริเวณข้อต่อ (Joint Connection Failure) โดยตัวตะขอ (Tab) ที่ใช้ยึดคานเข้ากับเสา เกิดความเสียหายจากการฉีกขาด ดังแสดงในรูปที่ 9 แต่เนื่องจากสลักเกลียวนิรภัย (Safety Bolt) ที่ตั้งอยู่ที่บริเวณกึ่งกลาง ทำให้โครงชั้นวางสินค้า ยังสามารถตั้งอยู่ได้ ดังนั้นตัวสลักเกลียวจึงมีความสำคัญอย่างมากในการใช้งานจริง

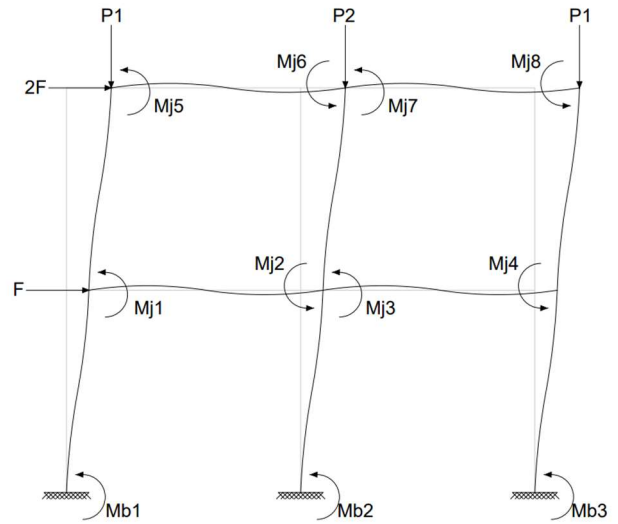


**รูปที่ 8** ลักษณะการเสียรูปของตัวอย่างทดสอบ



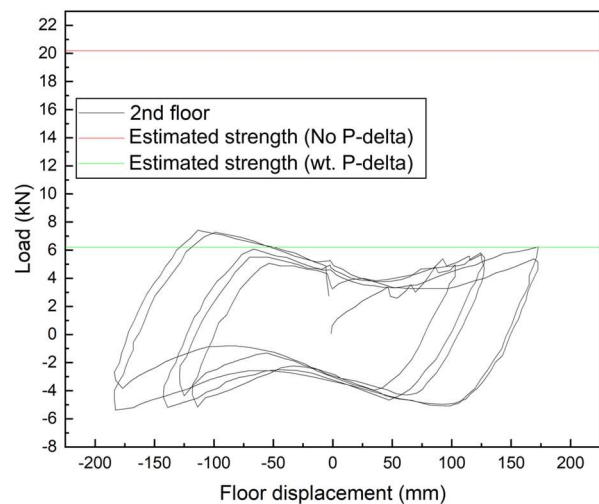
**รูปที่ 9** การวิบัติเกิดขึ้นที่บริเวณข้อต่อ (Joint Connection Failure)

จากผลการทดสอบการรับแรงในช่วงที่ 3 พบว่าโครงตัวอย่าง มีค่ากำลังต้านทานแรงด้านข้างสูงชันอย่างมีนัย หลังจากที่มีการปลดน้ำหนักบรรทุกทุกในแนวตั้งออก ดังจะเห็นได้จากค่ากำลังต้านทานแรงด้านข้างในรูปที่ 7 ที่มีค่าสูงสุดที่ประมาณ 25 kN มากกว่าค่ากำลังต้านทานแรงด้านข้างจากการทดสอบในช่วงที่ 2 (รูปที่ 6) ที่มีค่าประมาณ 7 kN กว่า 3 เท่าตัว ทั้งนี้สาเหตุหลักของความแตกต่างด้านกำลังต้านทานแรงด้านข้าง เป็นผลมาจากผลกระทบของ P-delta ที่เกิดขึ้นจากการเอียงคานของน้ำหนักบรรทุกทุกในแนวตั้ง



**รูปที่ 10** Free body diagram ของโครงชั้นวางสินค้าที่มีผลกระทบของ P-delta

เมื่อนำผลการทดสอบมาเปรียบเทียบกับผลการคำนวณกำลังต้านทานแรงด้านข้างที่ค่าการเคลื่อนตัวเท่ากับ 271.55 mm ด้วยวิธีการพิจารณาผลจากการร้าวในรูปที่ 10 (Plastic Mechanism Analysis) โดยใช้ค่ากำลังต้านทานแรงดัดที่จุดต่อจากผลการทดสอบในการศึกษาที่เกี่ยวข้อง [4] พบว่าผลการวิเคราะห์กำลังในกรณีที่ไม่มีแรงในแนวตั้ง จะได้ค่ากำลังสูงชันเป็นอย่างมาก (ในรูปที่ 11) ดังนั้นจะเห็นได้ว่า P-Delta Effect จึงมีความสำคัญอย่างมากในการออกแบบโครงชั้นวางสินค้าระบบ ASRS ที่มีความสูงเป็นพิเศษ และจำเป็นต้องได้รับการพิจารณาอย่างละเอียดในการออกแบบชั้นวางสินค้าประเภทนี้



**รูปที่ 11** ความสัมพันธ์ที่มีผลกระทบ P-delta เกิดขึ้นในช่วงที่สอง

#### 4. สรุปผลการวิจัย

จากการทดสอบโครงข่ายค้ำสำหรับระบบ ASRS ภายใต้การให้แรงแบบสลับทิศ และแบบทิศทางเดียว สามารถสรุปผลได้ดังนี้

1. โครงข่ายค้ำสามารถเสียรูปได้มากโดยไม่เกิดการวิบัติวิบัติขึ้น ซึ่งเป็นพฤติกรรมที่เหมาะสมในการต้านทานแรงแผ่นดินไหว แต่อย่างไรก็ตามค่ากำลังต้านทานแรงด้านข้างของโครงข่ายค้ำมีค่าค่อนข้างต่ำมาก ดังนั้นในการใช้งานจริงสำหรับรับแรงด้านข้าง เช่น แรงแผ่นดินไหว จำเป็นต้องมีการใช้ระบบค้ำยันด้านข้าง (Lateral Bracing) ร่วมในการรับแรงด้วย
2. การวิบัติของโครงข่ายค้ำ เกิดขึ้นบริเวณข้อต่อเป็นหลัก โดยเฉพาะตัวตะขอ (Tab) ที่ใช้ยึดเสากับคาน ดังนั้นจึงจำเป็นต้องมีการควบคุมคุณภาพเป็นพิเศษ รวมถึงการติดตั้งอย่างเหมาะสม
3. ผลของ P-Delta Effect มีความสำคัญอย่างมากในการออกแบบโครงข่ายค้ำระบบ ASRS ที่มีความสูงเป็นพิเศษ และจำเป็นต้องได้รับการพิจารณาอย่างละเอียดในการออกแบบโครงข่ายค้ำประเภทนี้

#### กิตติกรรมประกาศ

งานวิจัยนี้ได้รับการสนับสนุนงบประมาณจากหน่วยบริหารและจัดการทุนด้านการเพิ่มความสามารถในการแข่งขันของประเทศ (บพข.) ภายใต้แผนงาน Spearhead ด้านเศรษฐกิจ โดยการสนับสนุนจากสำนักงานพัฒนาวิทยาศาสตร์และเทคโนโลยีแห่งชาติ (สวทช.) สำนักงานสภานโยบายการอุดมศึกษา วิทยาศาสตร์ วิจัยและนวัตกรรมแห่งชาติ (สอวช.) และบริษัท แม่น้ำแมคคานิกา จำกัด

#### เอกสารอ้างอิง

- [1] Rack Manufacturers Institute (2008). *Specification for the Design, Testing and Utilization of Industrial Steel Storage Racks*, ANSI- RMI. North Carolina, NC, United States of America.
- [2] Federation Europeenne De La Manutention, Section X (2001). *The Design of Static Steel Pallet Racking*, FEM 10.2.02. Birmingham, Great Britain.
- [3] Castiglioni, C.A. (2016). *Seismic Behavior of Steel Storage Pallet Racking Systems*, Springer Nature, Milan, Italy.
- [4] ณัฐพล บุญสุริยพันธ์, เอกชัย อยู่ประเสริฐชัย, วงศา วรารักษ์สังจจะ, สุทัศน์ ลีลาทวีวัฒน์ และชัยณรงค์ อธิสกุล (2565). แบบจำลองโครงสร้างจุดต่อคาน-เสา สำหรับโครงสร้างค้ำเหล็กขึ้นรูปเย้นแบบสูงพิเศษ. *การประชุมวิชาการวิศวกรรมโยธาแห่งชาติ ครั้งที่ 27*, เชียงราย, 24-26 สิงหาคม 2565, หน้า 5-6.